

РОССИЙСКАЯ АКАДЕМИЯ НАУК  
НАУЧНЫЙ СОВЕТ ПО ТЕПЛОФИЗИКЕ  
НАУЧНЫЙ СОВЕТ ПО ФИЗИКЕ ПЛАЗМЫ  
ОБЪЕДИНЕННЫЙ ИНСТИТУТ ВЫСОКИХ ТЕМПЕРАТУР  
ИНСТИТУТ ПРОБЛЕМ ХИМИЧЕСКОЙ ФИЗИКИ

КАБАРДИНО-БАЛКАРСКИЙ ГОСУДАРСТВЕННЫЙ УНИВЕРСИТЕТ

---

---

**ФИЗИКА ЭКСТРЕМАЛЬНЫХ СОСТОЯНИЙ  
ВЕЩЕСТВА — 2008**

Черноголовка — 2008

УДК:536.20

## **Физика экстремальных состояний вещества — 2008**

*Под редакцией Фортова В. Е., Ефремова В. П., Хищенко К. В., Султанова В. Г.,  
Левашова П. Р., Карамурзова Б. С., Темрокова А. И., Канеля Г. И., Иосилевского И. Л.,  
Милявского В. В., Минцева В. Б., Петрова О. Ф., Савинцева А. П., Шпаташовской Г. В.*

Сборник посвящен исследованиям в области теплофизики экстремальных состояний и физики высоких плотностей энергии. Рассматриваются различные модели и результаты теоретических расчетов уравнений состояния вещества при высоких давлениях и температурах, физика ударных и детонационных волн, экспериментальные методы диагностики быстропротекающих процессов, взаимодействие мощных ионных и электронных пучков, интенсивного лазерного, рентгеновского и СВЧ излучения с веществом, электрический взрыв проводников мощными импульсами тока, методы генерации интенсивных импульсных потоков энергии, физика низкотемпературной плазмы, проблемы управляемого термоядерного синтеза и традиционной энергетики, а также различные технологические аспекты. Основная часть работ была представлена на XXIII Международной конференции «Уравнения состояния вещества» (Эльбрус, 1–6 марта 2008 г.). Издание адресовано специалистам в области физико-технических проблем энергетики.

**ISBN 5-901675-34-7**

© Институт проблем химической физики Российской академии наук,  
Черноголовка, 2008

держки  $\Delta t_{\text{delay}} = 0$  фс (когда максимум интенсивности временного профиля интенсивности нагревающего импульса совпадает с максимумом зондирующего) величина изменения фазы комплексного коэффициента отражения составила  $\sim 1.2$  рад, что соответствует смещению критического слоя плотности плазмы на величину  $L \sim 40$  нм.

1. Gibbon P., Forster R. // Plasma Phys. Controlled Fusion. 1996. V. 38. P. 769.
2. Gibbon P., Bell A. R. // Phys. Rev. Lett. 1992. V. 68. P. 1535.
3. Агранат М. Б., Андреев Н. Е., Ашитков С. И. и др. // Письма в ЖЭТФ. 2007. Т. 85. № 6. С. 328.

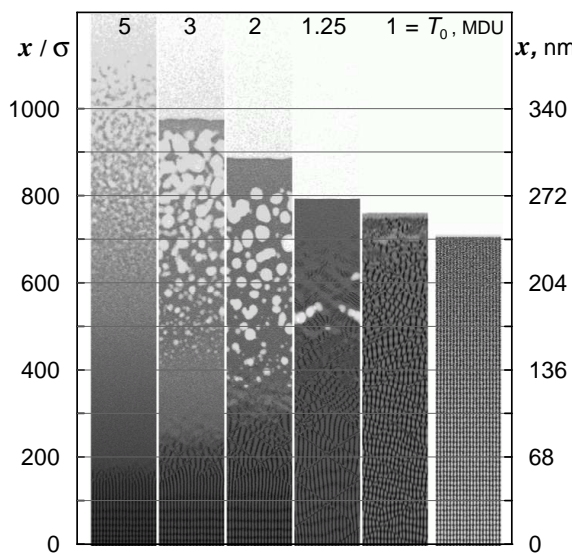
## ГИДРОДИНАМИКА ВЗАИМОДЕЙСТВИЯ УЛЬТРАКОРТОКОГО ЛАЗЕРНОГО ИМПУЛЬСА С ВЕЩЕСТВОМ: СРАВНЕНИЕ РАСЧЁТОВ С ЭКСПЕРИМЕНТОМ

**Иногамов Н.А.<sup>\*1</sup>, Жаховский В.В.<sup>2</sup>, Петров Ю.В.<sup>1</sup>, Хохлов В.А.<sup>1</sup>, Ашитков С.И.<sup>2</sup>, Анисимов С.И.<sup>1</sup>, Агранат М.Б.<sup>2</sup>, Nishihara K.<sup>3</sup>**

<sup>1</sup>ИТФ РАН, Москва, Россия, <sup>2</sup>ИТЭС ОИВТ РАН, Москва, Россия, <sup>3</sup>ILE, Osaka, Japan

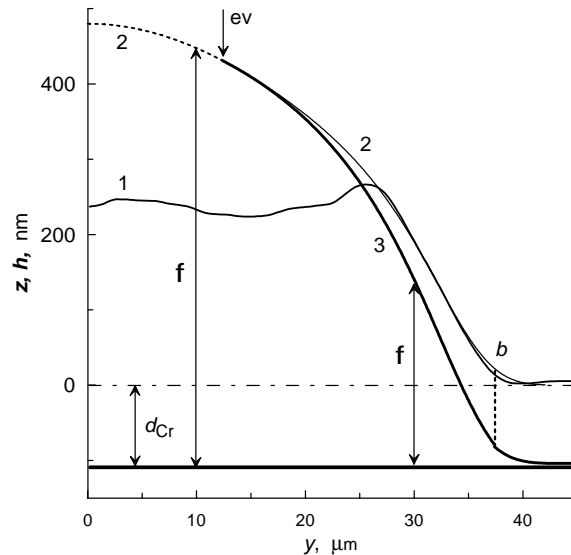
\*nail-inogamov@yandex.ru

Теоретические расчёты и опыты указывают на существование гигантских смещений облучённой поверхности около порога абляции  $F_a$  ( $F$  Дж/см<sup>2</sup>-флюенс фемтосекундного лазерного импульса, ФЛИ). Это проявляется в существовании протяжённого участка смещений, на котором продолжается торможение границы конденсированной фазы. Эти смещения намного превышают длину теплового расширения  $\Delta d$ . Гигантская длина с мягким торможением сохраняется и вне околоспорового интервала (находящегося возле значения  $F_a$ ), то есть при значительных превышениях над порогом. Правда, при таких превышениях остановки откольной пластины (ОП) не происходит.



**Рис. 1.** Молекулярно-динамическая (МД) демонстрация существования откольного купола (ОК) с дырой. Дыре соответствует кадр 1 слева. ОК составляет из ОП, представленных на 2, 3 и 4 кадрах слева.

Теория связывает гигантские смещения с поверхностным напряжением и формированием ансамбля крупных кавитационных пузырей, размер которых оказывается сравнимым с глубиной лазерного прогрева  $d_T \sim 10 - 100$  нм. Расчёты показывают, что первоначально плоская граница ми-

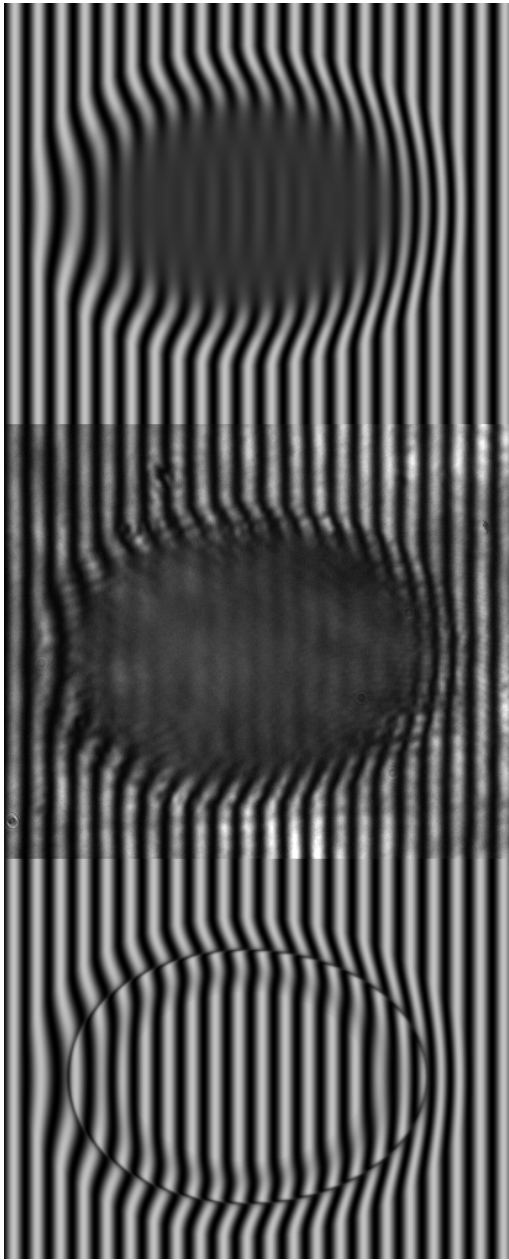


**Рис. 2.** Данные опытов по ОК и их обработка (золото, Au).

шени (граница идеального кристалла) постепенно искажается из-за пропечатывания на поверхности мишени растущих под ней кавитационных пузырей. Появление нанорельефа вследствие пропечатывания вызвано неоднородностью слабого торможения ОП. Неоднородность обусловлена со противлением растяжению жидкых плёнок, разделяющих крупные пузыри. Неоднородность со противления и нанорельеф существуют как на околоспоровом интервале  $\delta F_a$ , так и при заметных превышениях над порогом. Таким образом, гигантские смещения и нанорельеф — это связанные явления.

Нанорельеф должен сказываться на ширине углового распределения индикаторы рассеяния зондирующих ФЛИ. В будущем важно измерить вариацию по  $t$  угловой ширины зондирующих ФЛИ после отражения от поверхности ОК. Это позволит получить информацию о эволюции нанорельефа поверхности (время формирования, амплитуда, поперечный зондирующему лучу пространственный масштаб). Из расчётов следует, что длина слабого торможения около и вне порога  $F_a$  порядка глубины  $d_T$ . Ширина околоспо-

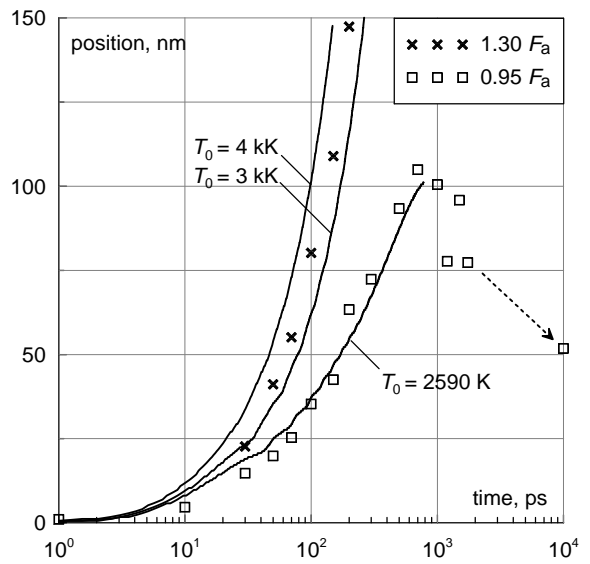




**Рис. 3.** Сравнение эксперимента (средний кадр) с теорией (Au). В расчёте сверху учтено слабое поглощение в двухфазной области. Тонкий эллипс снизу представляет кольцо Ньютона в микроинтерферометрическом изображении.

рогового интервала значительна  $\delta F_a/F_a \sim 0.01 - 0.1$ . Вблизи порога  $F_a$  продолжительность такого торможения порядка наносекунды. При этом пропечатывание формируется за сотни пикосекунд. На временах  $t \sim 1$  нс начинает сказываться теплопроводностное охлаждение прогретого слоя  $d_T$ . Происходит кристаллизация и замораживание реликты кавитационного ансамбля крупных пузырей. Эти реликты имеют вид отвердевших наноструктур, разделявших пузыри плёнок и застывших вслучиваний поверхности, под которыми остаются крупные пузыри.

В данной работе задача о воздействии ФЛИ на металлы изучена с помощью двухтемператур-

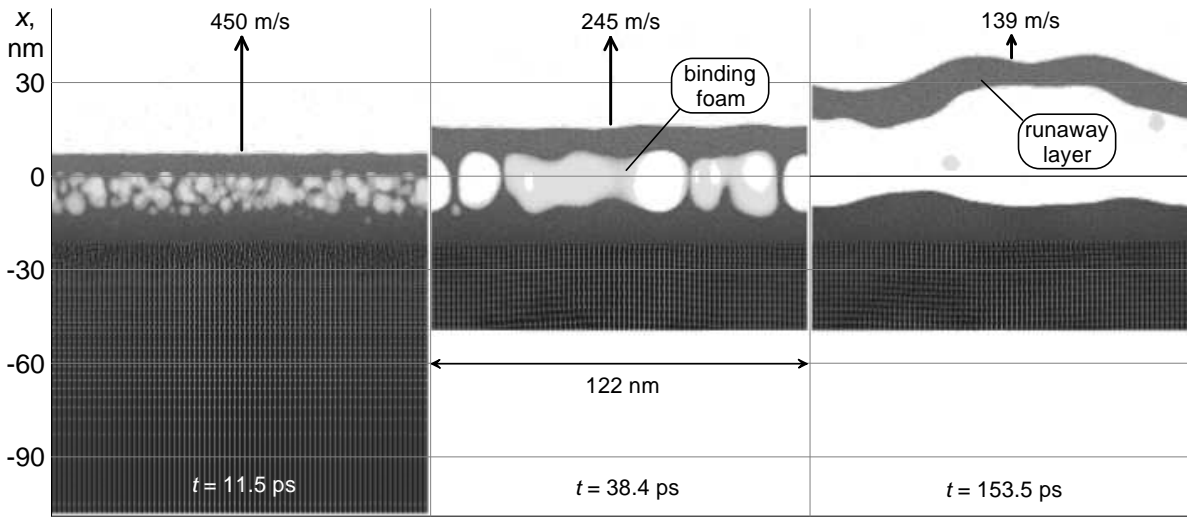


**Рис. 4.** Удивительно хорошее согласие расчётов (кривые) с экспериментом (маркеры) вблизи порога  $F_a$  в алюминии. Показаны зависимости от времени смещения границы, отражающей зондирующий ФЛИ. Стрелка указывает на остаточную деформацию.

ного гидродинамического кода и молекулярно-динамического (МД) моделирования. Код учитывает процессы поглощения лазерного излучения, перегрева электронной подсистемы относительно ионной подсистемы, распространения тепловой волны — всё это совместно с гидродинамическим движением. Из приведённых ниже сравнений с опытами следует, что впервые в такого рода задаче модель с удивительной точностью описывает эксперимент. Опыты проводились на мультираттной лазерной системе на кристалле хромфорстерита. Pump-probe (нагрев-зондирование) микроинтерферометрическая методика и слежение за кольцами Ньютона позволяют исследовать оптические свойства и кинематику расширения нагретого вещества, которые сопоставляются с расчётами. Структуру лазерного факела на стадии с ОК поясняют рис. 1 и 2. Лазерный пучок  $F(r) = F_c \exp(-r^2/R_L^2)$  с максимальным флюенсом  $F_c$  в центре пучка падает на мишень сверху. Ось пучка проходит по левому краю рис. 1, а его интенсивность спадает вправо. Рис. 1 «собран» из серии МД расчётов, соответствующих достаточно представительному набору значений  $r$  и  $F$ , охватывающему как периферию, так и центральную область пучка. При фиксированном значении  $F$  (то есть по вертикали на рис. 1) имеются область однофазного пара над ОК, ОК, двухфазная область и дно будущего кратера.

Рис. 2 выполнен на основе расчётов и обработки экспериментальных данных, представленных кривой 1 (Au). Внешняя и внутренняя границы ОК даются кривыми 2 и 3. Порогам  $F_a$  и  $F_e$ , в которых существует ОК, соответствуют метка «b» и стрелка «eV». Область однофазного пара над ОК ( $F < F_e$ ) и над двухфазной областью





**Рис. 5.** Постепенное формирование наноморфологических изменений на внешней поверхности ОП. Появление этих изменений обусловлено развитием кавитационного ансамбля: нуклеация и начальная стадия (левый кадр), укрупнение (средний кадр), пропечатывание (средний и правый кадры), отрыв (правый кадр).

( $F > F_e$ ) на рис. 2 не показана. Две стрелки «f» представляют двухфазную область под ОК и в «дыре» ( $F_e < F < F_c$ ). Дырой называется область, не прикрытая сверху ОК. «Слом» интерферометрических полос, происходящий в дыре на экспериментальном микроинтерферометрическом изображении (МИ), является вместе с искривлением полос на границе будущего кратера одной из двух основных особенностей центрального кадра на рис. 3. Кривая 1 на рис. 2 получена из этого экспериментального МИ. Она относится к сечению эллипса по его короткой оси  $b$ .

Слом полос происходит, когда отражение от дна начинает превалировать над отражением от ОК. Появление слома указывает на сильное уменьшение толщины ОК, сокращающейся от значения  $h \approx 110$  нм (Au), соответствующего глубине кратера на пороге  $F_a$  (метка «b» на рис. 2), до значений  $\sim 20$  нм. Уменьшение  $h$  вызвано ростом греющего флюенса к центру лазерного пучка. Слом полос на МИ на рис. 3 проявляется на рис. 2 в насыщении роста высоты ОК (кривая 1) при смещении к центру пучка. Слом полос в опытах с МИ начинается при заметно меньших  $F$ , чем  $F_e$ . Поэтому дыра в экспериментальных МИ шире, чем дыра в ОК.

На рис. 2 штрих-пунктирная горизонтальная прямая даёт положение границы мишени до воздействия ФЛИ. Нижняя прямая (дно будущего кратера) находится на расстоянии 110 нм от неё. Из опытов (Au, Al) следует, что глубина кратера слабо зависит от флюенса греющего ФЛИ до интересующих нас значений около 10 Дж/см<sup>2</sup>. ОК и весь лазерный факел находятся в движении. Рис. 2 и 3 соответствуют  $t_{delay} = 500$  пс после воздействия ФЛИ длительностью 0.1 пс и  $F_c = 7.1$  Дж/см<sup>2</sup>. ОК начинает отделяться от остатка мишени после старта нуклеации паровых зародышей в расплавленном золоте. Как го-

ворилось, процесс разделения оказывается пространственно протяжённым по вертикали. Слабое торможение за счёт сопротивления двухфазной области растяжению продолжается до смещений  $\sim d_T = 200 - 300$  нм (Au). После отрыва ОК появляется боковая граница кратера, показанная вертикальной штриховой линией под меткой «b» на рис. 2.

Рассмотрим вопрос об оклопороговом интервале  $\delta F_a$ . Сравнение расчётов с опытами показано на рис. 4. Видно, с какой высокой точностью согласуются оклопороговые данные. Хотя расчёт ( $\epsilon \approx -5\%$ ) и эксперимент ( $\epsilon \approx +2\%$ ) отличаются по отклонению от порога  $\epsilon = 1 - \epsilon_1$ ,  $\epsilon_1 = F/F_a \approx T_0/(T_0)_a$ , но это отличие становится существенным только в окрестности точки остановки границы (при  $\epsilon < 0$  имеется точка остановки). Таким образом, согласуются (a) пороги аблации по падающему и поглощенному флюенсам [1], (b) глубины кратеров [1] и (c) кинематика разлёта около порога  $F_a$  (рис. 4) — это новый результат, полученный в данной работе. Кривые с  $T_0 = 3$  ( $\epsilon = 0.2$ ) и 4 кК ( $\epsilon = 0.6$ ) образуют вилку возле опыта с  $\epsilon = 0.3$  и  $T_0 = 3.25$  кК (рис. 4). Асимптотические скорости ОП составляют: 0.54 км/с ( $T_0 = 3$  кК), 0.96 (4), 2.3 (9) и 2.8 (11). Как видим, в расчётах и опытах фиксируются гигантские (несколько  $d_T$ ) продолжительные (много  $t_s$ ) смещения. Похожие результаты наблюдались на полупроводниках [2]. На рис. 5 показана эволюция двухфазной области под ОП, приводящая к образованию нанорельефа. Работа поддержана грантом РФФИ 07-02-00764.

1. N.A. Inogamov, S.I. Anisimov, Yu.V. Petrov, V.A. Khokhlov, V.V. Zhakhovskii, M.B. Agranat, S.I. Ashitkov, D.S. Sitnikov, A.V. Ovchinnikov, K. Nishihara, A.M. Oparin, V.V. Shepelev, 8-th Int. Workshop Subsecond Thermophysics, Moscow, RF, Sept.



26–28, 2007. RAS, Joint Institute for High Temperatures. Book of Abstracts, Moscow, 2007, P. 30–31.  
V.V. Zhakhovskii, N.A. Inogamov, K. Nishihara, *ibid*,

- P. 47–48.  
2. V.V. Temnov, Doctoral Dissertation, University of Duisburg-Essen (2004).

## СУБПИКОСЕКУНДНАЯ ЛАЗЕРНАЯ АБЛЯЦИЯ: УНИВЕРСАЛЬНОСТЬ ПОРОГА И СПЕЦИФИКА ОКОЛОПОРОГОВОГО ПОВЕДЕНИЯ

Петров Ю.В.\*<sup>1</sup>, Анисимов С.И.<sup>1</sup>, Иногамов Н.А.<sup>1</sup>, Хохлов В.А.<sup>1</sup>, Жаховский В.В.<sup>2</sup>,  
Nishihara K.<sup>3</sup>, Upadhyay A.K.<sup>4</sup>, Rethfeld B.<sup>5</sup>, Urbassek H.M.<sup>5</sup>

<sup>1</sup>ИТФ РАН, Москва, Россия, <sup>2</sup>ИТЭС ОИВТ РАН, Москва, Россия, <sup>3</sup>ILS, Osaka, Japan,

<sup>4</sup>University of Michigan, Ann Arbor, USA, <sup>5</sup>Universität Kaiserslautern, Kaiserslautern, Deutschland

\*uvp49@mail.ru

Работа посвящена сравнению абляции разных веществ ультракороткими лазерными импульсами (УКЛИ). Имеются три класса веществ: металлы, полупроводники и диэлектрики. Причем металлы и полупроводники образуют одну группу, а диэлектрики — другую. Результаты воздействия УКЛИ на эти группы при умеренных флюенсах  $F \sim 1 \text{ Дж}/\text{см}^2$  качественно отличаются. В первой группе существуют диапазон  $F$  между порогами абляции  $F_a$  и испарения  $F_e$ , в котором в разлетающемся лазерном факеле имеется откольный купол (ОК). Наличие ОК принципиально меняет характер отражения зондирующих УКЛИ от факела по сравнению со случаем диэлектриков, когда ОК в факеле нет.

В металлах после воздействия УКЛИ за время  $t_T$  прогревается тонкий слой толщины  $d_T \sim 10 - 100 \text{ нм}$ . После этого скорость распространения тепловой волны резко снижается. Время  $t_T$  меньше или порядка звукового времени  $t_s = d_T/c_s$ . Это важно, поскольку определяет характер последующего разлета. Сверхзвуковой нагрев переводит слой  $d_T$  в нагруженное состояние с давлением  $p_T > 0$ . В волне разгрузки в конденсированной среде с конечной прочностью возникает область растяжения вещества, в которой давление становится отрицательным. При превышении порога прочности происходит откол — причина образования ОК.

В полупроводниках при малых  $F$  глубина  $d_T(F)$  велика по сравнению с  $d_T$  для металлов. С повышением  $F$  увеличивается количество электронов  $e^-$ , перебрасываемых из валентной зоны в зону проводимости за время  $\tau_L$  действия УКЛИ («металлизация»). Толщина  $d_T(F)$  резко уменьшается, когда в поверхностном слое отность электронов  $n$  в зоне проводимости превышает критическую плотность  $n_c$  для частоты греющего УКЛИ. Положение становится аналогичным случаю металла. При сравнении с диэлектриками очень важно то, что расплавленные полупроводники имеют проводящую жидкую fazу. Ширина запрещённой зоны  $\Delta$  мала, поэтому заброс даже большого числа электронов  $Z \sim 1$  оставляет полупроводник в конденсированном состоянии с конечным сопротивлением на разрыв ( $Z$  — число свободных  $e^-$  на атом). Соответственно в полупроводнике, как и в металле, имеется диапазон ( $F_a, F_e$ ) с ОК в факеле.

В диэлектриках при малых флюенсах  $F$  глубина  $d_T(F)$  велика. При повышении  $F$  начинается металлизация — переброс  $e^-$  через зону  $\Delta$  за время  $\tau_L$ . Когда плотность  $n$  свободных  $e^-$  достигает  $n_c$  толщина  $d_T(F)$  резко уменьшается. Положение становится аналогичным случаю металла в том отношении, что изохорический нагрев повышает давление  $p_T > 0$ . Однако, щель  $\Delta$  в спектре велика — заброс  $Z \sim 1$  электронов переводит диэлектрик в газо-плазменное состояние, не обладающее сопротивлением растяжению. Поэтому в факеле диэлектрика ОК отсутствует.

В работе откольные явления в первой группе рассматриваются методами молекулярной динамики (МД). На начальной стадии создаётся профиль температуры с глубиной  $d_T \sim 10 - 100 \text{ нм}$  и изучаются, во-первых, последующая акустическая релаксация, во-вторых, нуклеация при превышении порога  $F_a$ , и, в-третьих, развитие кавитационного ансамбля с образованием откольной пластины. Для МД расчётов необходим потенциал межатомного взаимодействия. С этой целью часто используют потенциал Леннарда-Джонса (LJ), простота которого позволяет несколько смягчить ограничения на быстродействие. В работе сравниваются показанные на рис. 1 потенциалы с узкой (LJ) и широкой (металлы, алюминий, многочастичный ЕАМ потенциал) ямами, ГЦК ячейка. Полупроводники образуют промежуточный случай. В качестве примера полупроводника на рис. 1 показан кремний (Si), который в кристаллическом состоянии имеет структуру алмаза. Потенциалы, нормированные на энергию когезии  $U_{coh}$ , построены в виде функции от координаты  $x$  вдоль перевального направления,  $x$  нормировано на расстояние между начальной и конечной точками:  $x \rightarrow x_{norm}$ . Максимум  $U(x)$  соответствует точке перевала. На рис. 1 показан потенциал атома при его смещении в направлении 110 (ГЦК) или 100 (структуре алмаза) на соседний атом при условии, что этот сосед исключен из решетки. В случае Si на отрезке перехода атома в незанятый узел имеется дополнительный минимум потенциала такой же глубины как исходный минимум. Дополнительный минимум находится на меньшем расстоянии от исходной точки, чем незанятый узел. Это указывает на уменьшение удельного объема Si при плавлении. Потенциалы LJ и Al образуют крайние случаи с высокой и

